

ЛЕКЦИЯ № 11.

Пример 1: Оценка фазы немодулированной несущей

Пусть $y_i = A \cdot \cos(\omega i + \varphi) + \eta_i$, где $\eta_i \sim N(0, \sigma_\eta^2)$, $\omega = 2\pi f \cdot \Delta t$, A, f – известные амплитуда и частота несущей, Δt – шаг дискретизации, φ – неизвестная начальная фаза.

Для оценки воспользуемся критерием максимального отношения правдоподобия:

$$\begin{aligned} \Lambda(\vec{y}_n, \varphi) &= \frac{\left(\frac{1}{\sqrt{2\pi} \cdot \sigma_\eta}\right)^n e^{-\sum_{i=1}^n \frac{(y_i - A \cos(\omega i + \varphi))^2}{2\sigma_\eta^2}}}{\left(\frac{1}{\sqrt{2\pi} \cdot \sigma_\eta}\right)^n e^{-\sum_{i=1}^n \frac{(y_i - A \cos(\omega i))^2}{2\sigma_\eta^2}}} = \frac{e^{-\sum_{i=1}^n \frac{(y_i^2 - 2y_i A \cos(\omega i + \varphi) + A^2 \cos^2(\omega i + \varphi))}{2\sigma_\eta^2}}}{e^{-\sum_{i=1}^n \frac{(y_i^2 - 2y_i A \cos(\omega i) + A^2 \cos^2(\omega i))}{2\sigma_\eta^2}}} = \\ &= e^{\sum_{i=1}^n \frac{y_i A \cos(\omega i + \varphi)}{\sigma_\eta^2}} \cdot e^{\frac{\sum_{i=1}^n -A^2 \cos^2(\omega i + \varphi) + \sum_{i=1}^n A^2 \cos^2(\omega i) - \sum_{i=1}^n 2y_i A \cos(\omega i)}{2\sigma_\eta^2}} = \\ &= e^{\sum_{i=1}^n y_i A \cos(\omega i + \varphi)} \left[e^{-\frac{E}{2\sigma_\eta^2}} \cdot e^{\frac{\sum_{i=1}^n A^2 \cos^2(\omega i) - \sum_{i=1}^n 2y_i A \cos(\omega i)}{2\sigma_\eta^2}} \right]. \end{aligned}$$

Множитель в $[\cdot]$ информации о фазе не несёт, поэтому

$$\varphi_n^\Lambda = \arg \max_{\varphi} \left(\exp \left(\sum_{i=1}^n y_i A \cos(\omega i + \varphi) \right) \right).$$

Так как экспонента- функция монотонная от своей степени, то критерий оптимальности можно записать в следующем виде:

$$\varphi_n^\Lambda = \arg \max_{\varphi} \left(\sum_{i=1}^n y_i A \cos(\omega i + \varphi) \right).$$

Далее возьмем первую производную по фазе от

$$\lambda(\vec{y}_n, \varphi) = \sum_{i=1}^n y_i A \cos(\omega i + \varphi) \text{ и приравняем ее нулю:}$$

$$\left. \frac{d \sum_{i=1}^n y_i A \cos(\omega i + \varphi)}{d\varphi} \right|_{\varphi=\varphi_n^\Lambda} = 0 \Rightarrow \sum_{i=1}^n y_i A \sin(\omega i + \varphi_n^\Lambda) = 0 \Rightarrow$$

$$\sum_{i=1}^n \left[y_i A \sin(\omega i) \cos \varphi_n^\Lambda + y_i A \cos(\omega i) \sin \varphi_n^\Lambda \right] = 0 \Rightarrow$$

$$\cos \varphi_n^\Lambda \sum_{i=1}^n y_i A \sin(\omega i) = -\sin \varphi_n^\Lambda \sum_{i=1}^n y_i A \cos(\omega i) \Rightarrow$$

$$-\tan \varphi_n^\Lambda = \frac{\sum_{i=1}^n y_i A \sin(\omega i)}{\sum_{i=1}^n y_i A \cos(\omega i)} \Rightarrow \varphi_n^\Lambda = -\arctg \left[\frac{\sum_{i=1}^n y_i \sin(\omega i)}{\sum_{i=1}^n y_i \cos(\omega i)} \right].$$

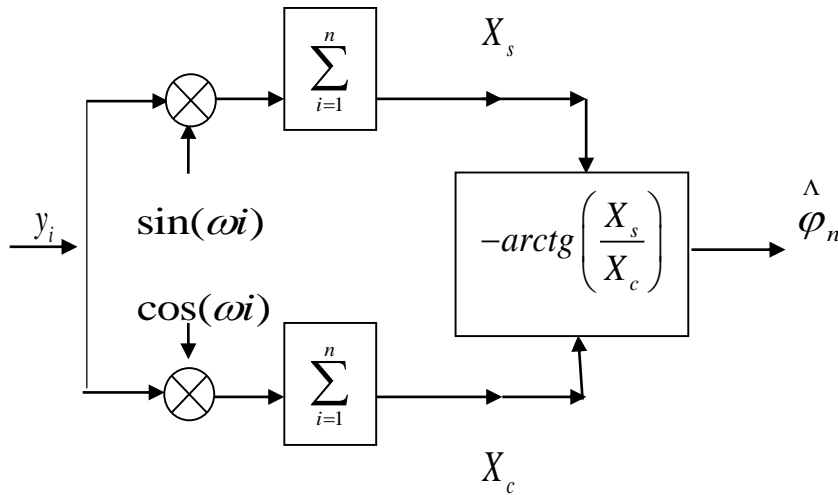


Рисунок 2.17. Структурная схема алгоритма оценивания неизвестной начальной фазы по критерию максимального отношения правдоподобия.

В непрерывном времени вместо $\sum_{i=1}^n (\cdot)$ берётся $\int_0^{T_H} (\cdot)$, T_H - время наблюдения.

3. Некоторые виды цифровой модуляции.

При передаче цифровой информации по каналам связи модулятор отображает информацию в форму аналоговых сигналов, которые согласованы с характеристиками канала. Отображение происходит по средством выбора блоков из $k=\log_2 M$ двоичных символов из символов информационной последовательности $\{a_n\}$ а выбора одного из $M=2^k$ детерминированных сигналов с ограниченной энергией $\{S_m(t), m=\overline{1:M}\}$.

Если отображение цифровой информации $\{a_n\}$ в сигнал так, что сигнал, передаваемый на данном интервале времени, зависит от одного или более сигналов, переданных ранее, то говорят, что модулятор имеет память.

Если отображении $\{a_n\}$ в сигналы $\{S_m(t)\}$ происходит так, что передаваемые не зависят от ранее переданных, то говорят, что модулятор не имеет памяти.

Так же модуляторы бывают линейными и нелинейными. Линейность требует выполнения принципа суперпозиций (наложении) при отображении $\{a_n\}$ в $\{S_m(t)\}$.

3.1 Методы модуляции без памяти.

3.1.1. Амплитудно – импульсная модуляция (АИМ) или (ДАМ).

АИМ – линейная цифровая модуляция.

$$S_m(t) = A_m(t)g(t)\cos(2\pi f_c t), m=\overline{1:M}, 0 \leq t \leq T, \quad (3.1)$$

где A_m – амплитуда сигнала, соответствующая возможным k – битовым блокам или символам. A_m принимает дискретные значения. $A_m = (2m-1-M)d$, где $2d$ – расстояние между соседними амплитудами сигналов, $g(t)$ – вещественный сигнальный импульс, форму которого определяет спектр передаваемого сигнала. Скорость передачи канальных символов при АМ равна $\frac{R}{k}$ – скорость с которой происходит изменения амплитуды гармонического сигнала. Временной интервал $T_b = \frac{1}{R}$ – называют информационным (битовым) интервалом, а временной интервал $T = kT_b = \frac{k}{R}$ – называют символьным интервалом или интервалом информационного символа. (R бит – скорость появления двоичной информационной последовательности $\{a_n\}$). Сигналы АМ имеют энергию:

$$E_m = \int_0^T S_m^2(t) dt = \frac{1}{2} A_m^2 \int_0^T g^2(t) dt = \frac{1}{2} A_m^2 E_g$$

E_g – энергия импульса $g(t)$.

Пространственная диаграмма сигналов цифровой АМ показана на рисунке 3.1.

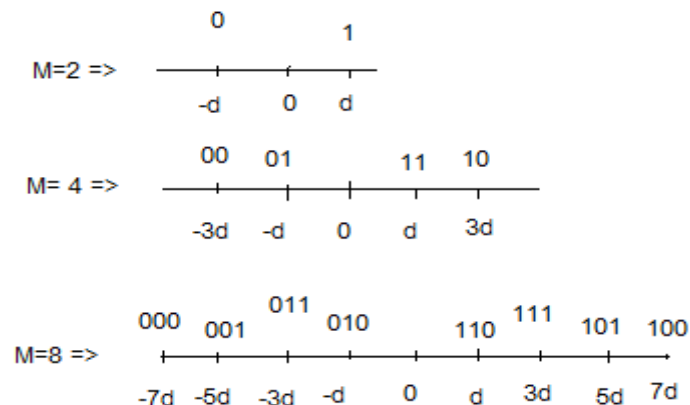


Рисунок 3.1. Пространственная диаграмма сигналов цифровой АМ.

Цифровая АМ называется также модуляцией с амплитудным сдвигом (МАС, ASK).

3.1.2. Сигналы фазовой модуляции (ФМ).

ФМ – нелинейная модуляция.

$$S_m(t) = g(t) \cos(2\pi f_c t + \frac{2\pi(m-1)}{M}),$$
$$m = \overline{1:M}, 0 < t < T$$
(3.2)

$g(t)$ – определяет огибающую сигнала, $\Theta_m = \frac{2\pi(m-1)}{M}$ – определяет M возможных значений фазы, которая переносит передаваемую информацию. Цифровую ФМ также называют модуляцией с фазовым сдвигом (МФС, PSK)

Сигналы $S_m(t)$ имеют одинаковую энергию:

$$E = \int_0^T S_m^2(t) dt = \frac{1}{2} \int_0^T g^2(t) dt = \frac{1}{2} E_g.$$

Пространственная диаграмма сигналов цифровой ФМ показана на рисунке 3.2.

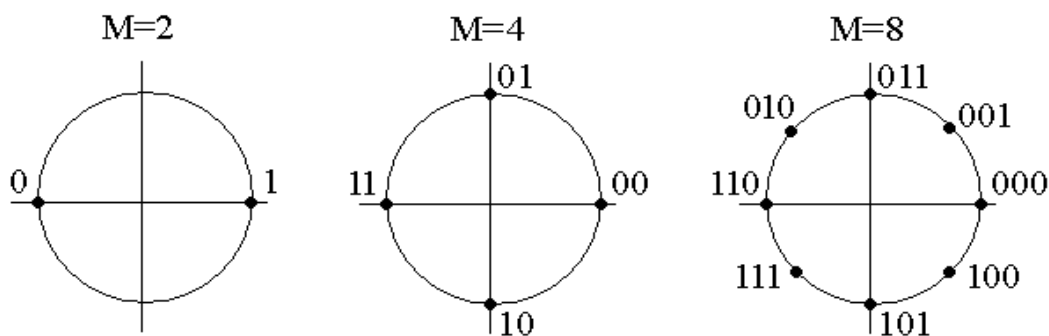


Рисунок 3.2. Пространственная диаграмма сигналов цифровой ФМ.

3.1.3. Квадратурная амплитудная модуляция (КАМ, QAM)

$$S_m(t) = A_{mc} \cdot g(t) \cos(2\pi f_c t) - A_{ms} \cdot g(t) \sin(2\pi f_c t),$$
$$m = \overline{j:M}, 0 \leq t \leq T$$
(3.3.)

где A_{mc} , A_{ms} – информационные амплитуды сигнала для квадратурных несущих, $g(t)$ – вещественный сигнальный импульс.

Альтернативно сигнал КАМ можно выразить так:

$$S_m(t) = V_m g(t) \cos(2\pi f_c t + \Theta_m)$$

$$V_m = \sqrt{A_{ms}^2 + A_{mc}^2}, \quad \Theta_m = \arctg\left(\frac{A_{ms}}{A_{mc}}\right) \quad (3.4.)$$

КАМ можно рассматривать как комбинацию амплитудной и фазовой модуляции. Можно образовать определенную комбинацию M_1 уровней АМ и M_2 уровней позиционной ФМ, чтобы сконструировать комбинированное АМ-ФМ сигнальное созвездие, содержащее $M = M_1 \cdot M_2$ точек пространства сигналов. Если $M_1 = 2^n$, $M_2 = 2^m$, то сигнальное созвездие сводится к мгновенной передаче $m+n = \log_2 M_1 \cdot M_2$ двоичных символов, возникающих со скоростью $\frac{R}{m+n}$. Пространственная диаграмма комбинированной АМ-ФМ показана на рисунке 3.3.

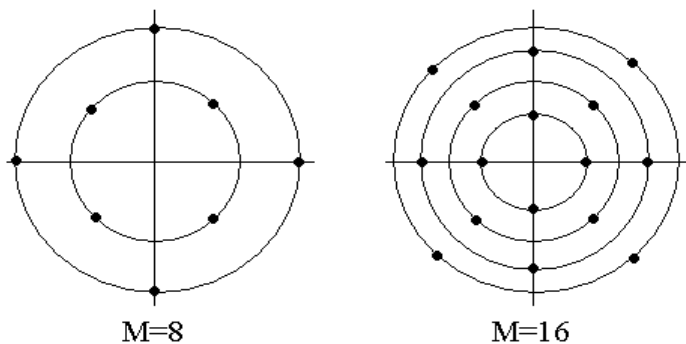


Рисунок 3.3. Пространственная диаграмма комбинированной АМ-ФМ.

Для частного случая, когда амплитуда сигналов принимает ряд дискретных значений $\{(2m-1-M)d, \quad m = \overline{1:M}\}$, пространственная диаграмма сигналов является прямоугольной, изображена она на рисунке 3.4.

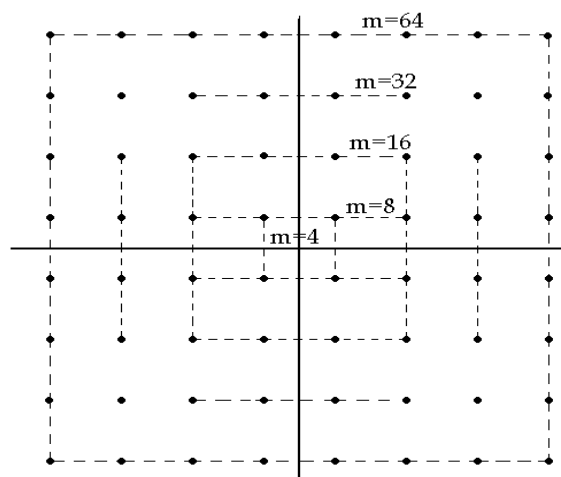


Рисунок 3.4. Пространственная диаграмма сигналов КАМ.

3.1.4. Ортогональные сигналы

Нелинейная модуляция без памяти.

$$\begin{aligned} S_m(t) &= A \cos(2\pi f_c t + 2\pi m \Delta f t), \\ m &= \overline{1:M} \quad 0 \leq t \leq T \end{aligned} \quad (3.5)$$

Этот вид частотной модуляции (ЧМ) называется модуляцией с частотным сдвигом (МЧС, FSK), $\rho_{km} = 0$; $\Delta f = \frac{1}{2T}$

3.1.5. Расстояние Евклида между сигналами.

Расстояние Евклида – мера сходства (или несходства) совокупности сигналов.

$$d_{km}^{(e)} = |S_m - S_k|^2 = \left\{ \int_{-\infty}^{\infty} [S_m(t) - S_k(t)]^2 dt \right\}^{1/2} = \left\{ E_m + E_k - 2\sqrt{E_m E_k} \cdot \text{Re}(\rho_{km}) \right\}^{1/2} \quad (3.6)$$

где E_m, E_k – энергии сигналов $S_m(t)$ и $S_k(t)$ соответственно, ρ_{km} – коэффициент взаимной корреляции между сигналами $S_m(t)$ и $S_k(t)$.

$$\text{Re}(\rho_{km}) = \frac{1}{\sqrt{E_k E_m}} \int_{-\infty}^{\infty} S_m(t) S_k(t) dt \quad (3.7)$$

Если $E_m = E_k = E$ для всех k и m , то (3.6) преобразовывается в

$$d_{km}^{(e)} = \{2E[1 - \text{Re}(\rho_{km})]\}^{1/2} \quad (3.8)$$

Тогда евклидово расстояние для разных сигналов имеет вид:

АМ: $d_{km}^{(e)} = \sqrt{(S_m - S_k)^2} = \sqrt{\frac{1}{2} E g |A_m - A_k|} = d \sqrt{2 E g} |m - k|$

$$d_{km \min}^{(e)} = d \sqrt{2 E g}, \quad \text{при } |m - k| = 1$$

ФМ: $d_{km}^{(e)} = |S_m - S_k| = \sqrt{E g \left[1 - \cos\left(\frac{2\pi}{M}(m - k)\right) \right]},$

$$d_{km \min}^{(e)} = \sqrt{E g \left[1 - \cos\left(\frac{2\pi}{M}\right) \right]}, \quad \text{при } |m - k| = 1$$

КАМ: $d_{km}^{(e)} = \sqrt{\frac{1}{2} E g \left[(A_{mc} - A_{kc})^2 + (A_{ms} - A_{ks})^2 \right]}$

Если амплитуда сигналов принимает ряд дискретных значений $\{(2m-1-M)d, m=\overline{1:M}\}$, то $d_{km\min}^{(e)} = d\sqrt{2Eg}$ и совпадает с тем же параметром для АМ.

Чем сильнее различаемые сигналы, т.е. чем больше $d_{km}^{(e)}$, тем легче принимать их с нужным качеством.

3.2. Методы модуляции с памятью.

3.2.1. Линейная модуляция с памятью.

Ограничим рассмотрение базовыми сигналами (низкочастотными). Рассмотрим два базовых сигнала, которые представлены на рисунке 3.5.:

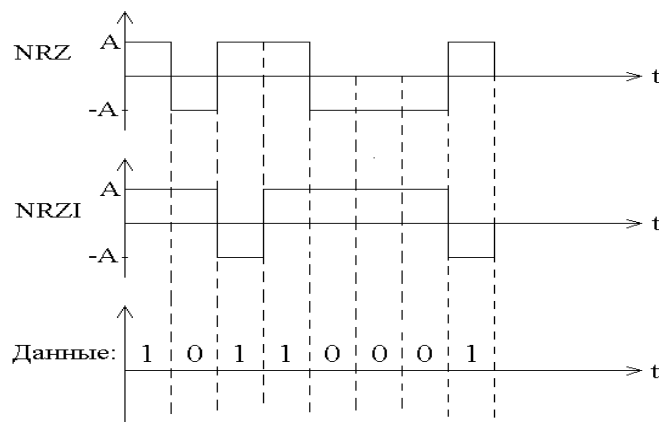


Рисунок 3.5. Временная диаграмма базовых низкочастотных сигналов.

Первый сигнал NRZ (двоичный сигнал без возвращения к нулевому уровню – ДБН) – простейший. NRZ отображает модуляцию без памяти. Он эквивалентен двоичной АМ или двоичной ЧМ ($\Theta_{1,2}=0; \pi$) в системе с модулированной несущей. Второй – NRZI отличается от NRZ тем, что переход от одного уровня амплитуды к другому имеет место только при передаче «1». Уровень амплитуды не меняется, когда передается «0». Этот тип преобразования называется дифференциальным кодированием. Операция кодирования математически записывается в следующем виде:

$$b_k = a_k \oplus b_{k-1}, \quad (3.9)$$

где $\{a_k\}$ – двоичная информационная последовательность на входе кодера, $\{b_k\}$ – последовательность на выходе кодера, \oplus – суммирование по модулю 2. Далее, если $b_k=1$, то передаваемый сигнал – прямоугольный импульс с амплитудой А, если $b_k=0$, то передаваемый сигнал – прямоугольный импульс с амплитудой –А. Операция дифференциального кодирования вводит память в сигнал.

3.2.2. Нелинейные методы модуляции с памятью

Модуляция с непрерывной фазой (МНФ).

$$S(t) = A \cos[2\pi f_c t + \Psi(t, I)]$$

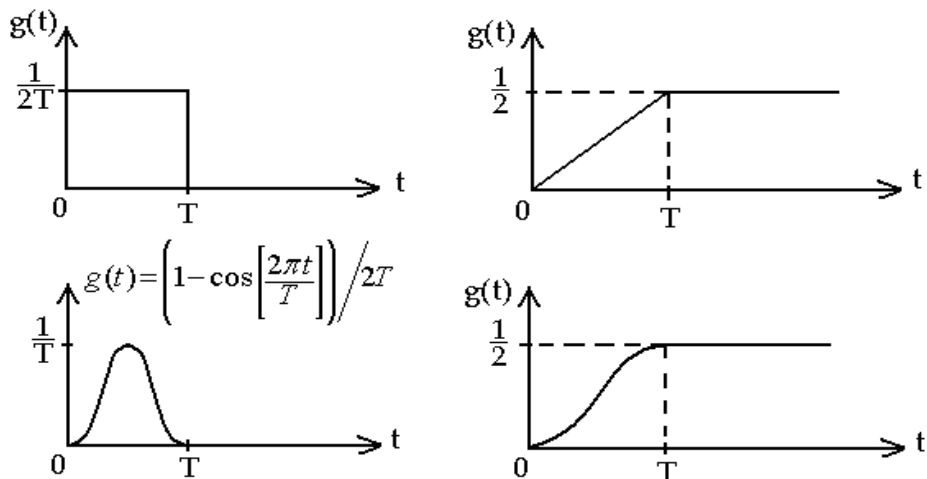
$$\Psi(t, I) = 2\pi \sum_{l=1}^n I_l h_l q(t - (l-1)T) \quad (3.10)$$

$$(n-1)T \leq t \leq nT$$

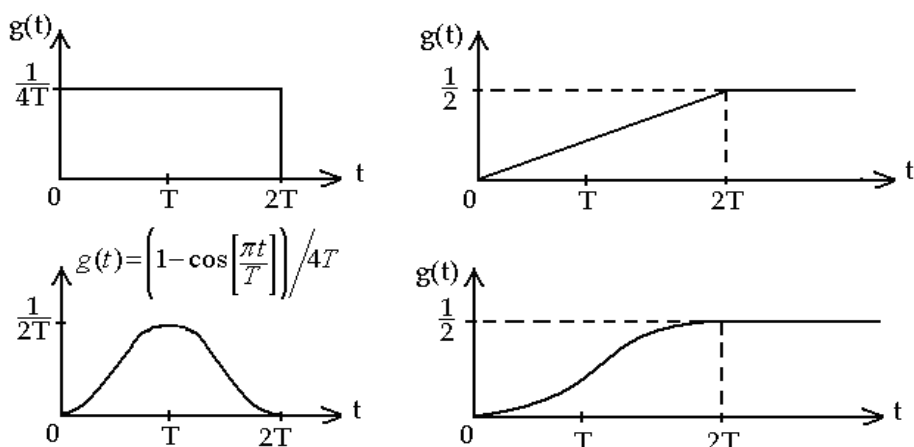
где $n=1,2,\dots$, $\{I_l\}$ – последовательность информационных символов, выбранных из алфавита $\pm 1, \pm 3, \dots, \pm(M-1)$, $\{h_l\}$ – последовательность индексов модуляции для всех символов, $q(t)$ – нормированная огибающая сигнала. Когда h_l меняется от одного символа к другому \Rightarrow сигнал МНФ называется многоиндексным (*multi-h*).

$$q(t) = \int_0^t g(\tau) d\tau,$$

где $g(\tau)$ – форма импульса. Если $g(\tau)=0$ для $t > T \Rightarrow$ сигнал МНФ называют МНФ с полным откликом. Если $g(\tau) \neq 0$ для $t < T \Rightarrow$ сигнал называют МНФ с парциальным откликом. Функции $g(t)$, $q(t)$ для полного и парциального отклика показаны на рисунке 3.6.



a)



б)

Рисунок 3.6. Функции $g(t)$, $q(t)$ сигнала МНФ: полный отклик – а, частичный отклик - б.

Можно нарисовать ряд фазовых траекторий $\Psi(t, I)$, генерируемых возможными значениями информационных последовательностей $\{I_n\}$.

Например, в случае ЧМНФ (ЧМ с непрерывной фазой – частный случай МНФ сигнала, $h = 2f_{dev}T = const$, f_{dev} – максимальная девиация частоты) с двоичными символами $I_n = \pm 1$ и прямоугольным импульсом $g(t)$ ряд фазовых траекторий, начинающихся при $t = 0$ показан на рисунке 3.7.

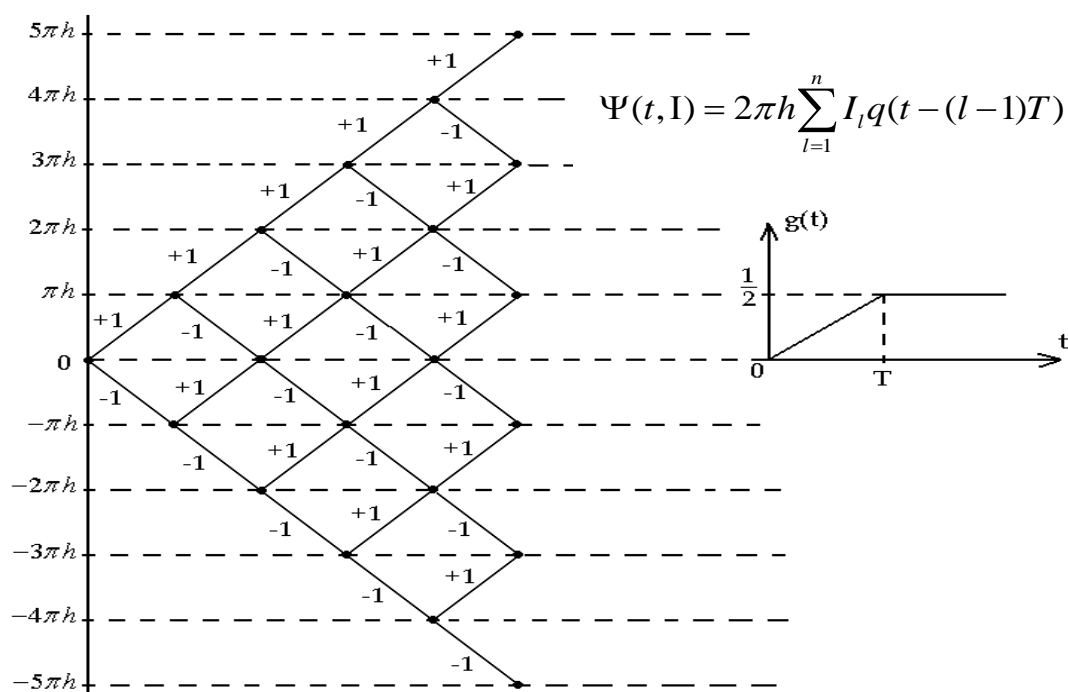


Рисунок 3.7. Фазовые траектории сигнала МНФ с полным откликом и прямоугольным импульсом.

Такие фазовые траектории называются фазовым деревом.

Модуляция с минимальным сдвигом (ММС, MSK)

ММС – специальная форма ЧМНФ (и, следовательно, МНФ), в которой индекс модуляции $h = \frac{1}{2}$. Фаза несущей на интервале $nT \leq t \leq (n+1)T$ равна:

$$\Psi(t, I) = \frac{1}{2} \pi \sum_{l=1}^{n-1} I_l + \pi I_n q(t - (n-1)T) \quad (3.11)$$

Вывод: В большинстве систем ЦС, имеющаяся в распоряжении полоса частот, ограничена. Поэтому актуальны сигналы, занимающие меньшую полосу частот. Нужная полоса частот достигается подбором $g(t)$ и вида модуляции. Также важно чтобы боковые доли спектральной плотности мощности были как можно меньше. С этой точки зрения сигнал МНФ – эффективный.

3.3. Сравнение цифровых методов модуляции

ФМ: Для многофазных сигналов требуемая полоса частот – полоса сигнального импульса $g(t)$. Пусть $g(t)$ – импульс длительностью $T \Rightarrow W$ – его полоса частот, $W \approx \frac{1}{T}$, т.к. $T = \frac{K}{R} = \frac{\log_2 M}{R} \Rightarrow W \approx \frac{R}{\log_2 M} \Rightarrow$ при увеличении M уменьшается W при $R = const$.

$\frac{R}{W}$ – частотная эффективность – отношение скорости (битовой) к полосе.

Тогда для сигналов цифровой ФМ

$$\frac{R}{W} = \log_2 M \quad (3.12)$$

АМ: Частотно-эффективный метод передачи АМ сигналов – однополосная передача. $\Rightarrow W \approx \frac{1}{2T} \Rightarrow W \approx \frac{R}{2 \log_2 M} \Rightarrow$ для цифровой ФМ частотная эффективность определяется, как

$$\frac{R}{W} = 2 \log_2 M. \quad (3.13)$$

Таким образом, частотная эффективность АМ в 2 раза больше, чем ФМ.

КАМ: Т.к. в КАМ –сигнале есть две ортогональные несущие и на каждой несущей передается АМ сигнал, то $R_{КАМ} = 2R_{АМ}$. Но КАМ – сигнал передается двумя полосами, тогда КАМ и АМ имеют одинаковую частотную эффективность.

Ортогональные сигналы: Для ортогональных сигналов существуют другие требования к полосе. Пусть $M = 2^K$ ортогональных сигналов синтезированы посредством ортогональных несущих с минимальным разносом частот $\frac{1}{2T}$ для ортогональности, то полоса частот, требуемая для передачи $K = \log_2 M$ информационных бит равна $W = \frac{M}{2T} = \frac{M}{2(K/R)} = \frac{M}{2 \log_2 M} \cdot R$. В этом случае при увеличении M растет W при $R = const$. Частотная эффективность ортогональных сигналов определяется следующим выражением:

$$\frac{R}{W} = \frac{2 \log_2 M}{M} \quad (3.14)$$

Компактное и осмысленное сравнение методов цифровой модуляции основывается на зависимости $\frac{R}{W}$ от $\frac{E_b}{N_0} = q_b$, где q_b – отношение сигнал/шум на бит, требуемое для достижения заданной вероятности ошибки.

$E_b = P_{cp} T_b$ – энергия на бит,

$$P_{cp} = \frac{\int_0^T S^2(t) dt}{T} = \frac{\int_0^T S^2(t) dt}{KT_b} \Rightarrow E_b = \frac{\int_0^T S^2(t) dt}{K} = \frac{E}{K}.$$

В случае АМ, КАМ, ФМ увеличение M ведет к росту частотной эффективности $\frac{R}{W}$. Но плата за это увеличивается по мере роста q_b . Следовательно, эти методы модуляции предпочтительны для частотно ограниченных каналов связи, когда желательно иметь $\frac{R}{W} > 1$, и где обеспечивается достаточно большое q_b , чтобы поддержать рост M , например, телефонные каналы, цифровые микроволновые радиоканалы.

Напротив, M -позиционные ортогональные сигналы дают $\frac{R}{W} \leq 1$. При увеличении M падает частотная эффективность $\frac{R}{W}$, т.к. увеличивается полоса W (при $R = const$). Но q_b требуемое для достижения заданной вероятности ошибки уменьшается с ростом M . Следовательно, M -позиционные ортогональные сигналы предпочтительны для каналов с ограничением мощности, которые имеют достаточно широкую полосу для размещения большого количества сигналов.